

春本鐵工所(株) 正員 富本 信

京都大学工学部 正員 山田善一 野田 茂

1. まえがき 本研究の目的は、小地震から本震時の波動を合成する半経験的手法に改良を加え、一連の新しいプログラムを開発することである。さらに、日本海中部地震時の周期10秒前後の地動の評価に適用し、本手法の妥当性を吟味した。なお、グリーン関数としては、気象庁1倍強震計記象から求めた余震の地動を採用した。

2. 余震から本震の地動を合成するための手法の提示 まず、断層面をstrike方向に N_L 個、dip方向に N_w 個分割する。余震記録のNS、EW、UD成分のフーリエスペクトルを $NS_a(\omega)$ 、 $EW_a(\omega)$ 、 $UD_a(\omega)$ とする。ここに、添字のaは、余震を意味する。余震から観測点までの震央距離を r_a 、方位角を $N\theta_a^\circ E$ とすると、観測点での接線方向、法線方向のフーリエスペクトルは以下ようになる。

$$\begin{Bmatrix} U_{Ra}(\omega) \\ U_{Ta}(\omega) \end{Bmatrix} = \begin{Bmatrix} \cos \theta_a & \sin \theta_a \\ -\sin \theta_a & \cos \theta_a \end{Bmatrix} \begin{Bmatrix} NS_a(\omega) \\ EW_a(\omega) \end{Bmatrix} \quad (1)$$

断層面のグリッド (ξ, η) から射出される本震時のフーリエスペクトルは、余震のフーリエスペクトルを用いると、容易に表示できる。今、 (ξ, η) から見た、観測点のradial方向のスペクトルは以下になる。ただし、Rayleigh波が主に卓越するものと考えている。

$$S_R(\omega, r_{\xi\eta}, \theta_{\xi\eta}) = \frac{\chi_R(\omega, h_{\xi\eta}, \theta_{\xi\eta}, \varphi, \lambda, \delta, k_R, V_R(h_{\xi\eta}), V_V(h_{\xi\eta}))}{\chi_R(\omega, h_a, \theta_a, \varphi_a, \lambda_a, \delta_a, k_R, V_R(h_a), V_V(h_a))} \cdot \left(\frac{r_a}{r_{\xi\eta}}\right)^{1/2} \exp\left\{-\left(r_{\xi\eta} - r_a\right) \left[\frac{1}{2} k_R(\omega) + \frac{\omega}{2Q_R(\omega)} \frac{U_{R(\omega)}}{U_{R(\omega)}} \right]\right\} \cdot U_{Ra}(\omega) \quad (2)$$

ここに、走向、傾斜角、食い違いの方向、震源深さ、観測点の方位角、震央距離、波数、Q値、群速度、水平および上下の変位モードを $\phi, \delta, \lambda, h, \theta, r, k_R, Q_R, U_R, V_R, V_V$ としている。 χ_R は方位特性関数である。また、添字のaは余震の、添字なしおよび ξ, η の付いたものは、本震時のパラメータを採用する。本研究では、定式化の便宜上、基本モードのみに着目した。

式(2)と同様にすると、本震時に観測点で得られる、上下変位(Rayleigh波による)と接線方向の変位(Love波による)のスペクトル、すなわち、 $S_V(\omega, r_{\xi\eta}, \theta_{\xi\eta})$ と $S_T(\omega, r_{\xi\eta}, \theta_{\xi\eta})$ は、 $UD_a(\omega)$ と $U_{Ta}(\omega)$ および距離補正と方位特性関数の補正などを施すことにより、得られる。

こうして得られた要素波を、FFTにより時間領域に逆変換したものを、 $U_{r,\xi\eta}(t)$ 、 $U_{\theta,\xi\eta}(t)$ 、 $U_{z,\xi\eta}(t)$ とする。その結果、合成した地動のNS、EW、UD成分は次に示すように求められる。

$$\left. \begin{aligned} U_{NS}(t) &= C \sum_{i=1}^{N_L} \sum_{j=1}^{N_w} \sum_{k=1}^{N_T} \left\{ \cos \theta_{ij} U_{r,ij}(t - \tau_{ijk}) - \sin \theta_{ij} U_{\theta,ij}(t - \tau_{ijk}) \right\} \\ U_{EW}(t) &= C \sum_{i=1}^{N_L} \sum_{j=1}^{N_w} \sum_{k=1}^{N_T} \left\{ \sin \theta_{ij} U_{r,ij}(t - \tau_{ijk}) + \cos \theta_{ij} U_{\theta,ij}(t - \tau_{ijk}) \right\} \\ U_{UD}(t) &= C \sum_{i=1}^{N_L} \sum_{j=1}^{N_w} \sum_{k=1}^{N_T} U_{z,ij}(t - \tau_{ijk}) \end{aligned} \right\} \quad (3)$$

ここに、 $C = N / (N_L N_w N_T)$

$$\tau_{ijk} = \tau_{ij} - \tau_{00} + \frac{\sqrt{\{x_{ij}^2 - x_{00} + (k-1)V_R \tau_a \cos \lambda\}^2 + \{y_{ij}^2 - y_{00} + (k-1)V_R \tau_a \sin \lambda\}^2}}{V_R}$$

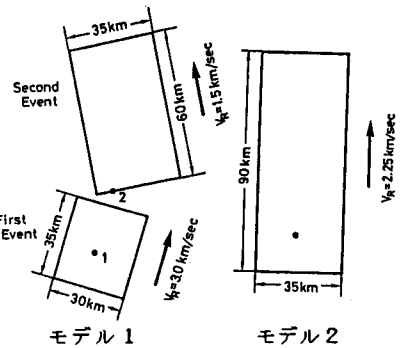
ただし、 τ_{ij} 、 τ_{00} はグリッド (i, j) と破壊開始点からの走時である。ここでは、地下平行層モデルから、直達S波の走時を理論的に計算している。また、 (x, y) は断層上での位置座標を示している。余震のライズタイム τ_a は $\tau_a = \tau / N_T$ から求められる。

上式に見られるように、本研究では、地震記録に方位補正、距離補正、震源の深さによる違いの補正などをし、余震と本震の震源パラメータの相違や表面波の分散現象を考慮する、加速度が τ_a の周期関数とならないようにする、など新しい工夫をしている。

3. 昭和58年日本海中部地震時の地震動の合成 地下構造としては第1層を海と考え、気仙沼・男鹿沖の爆破探査の結果から推定したモデルを採用した。これより、表面波の変位と応力のモードの深さ方向の

分布などを計算した。

本震発生時から6月30日までの余震分布および本震(5月28日)と余震(6月9日, 21日)の震央位置より、断層の幾何を決め、図1のような2つのモデルを考えた。モデル1は、2つのEventよりなる。各モデルの本震時の断層パラメーターおよび余震のそれは、各種の文献や島崎氏との私信により決定した。ちなみに、後述の相川における数値計算では、モデル1の第1Eventで $N=6, N_L=N_W=2, N_C=1$, 第2Eventで $N=9, N_L=N_W=N_C=2$, モデル2で $N=15, N_L=3, N_W=N_C=2$ とした。なお、モデル1では、2つのEventとしての断層の発震源の相違を考慮して、波の合成を行なった。次に示す4通りの方法により、地動の合成を行なった。



モデル1 モデル2
図1 採用した断層モデル

ただし、いずれも今回は、非弾性減衰による補正をしていない。CASE 1: モデル1を用いて、距離補正のみ実施し、方位特性の補正や式(3)の座標変換を考慮しない、CASE 2: 次に、式(2)と(3)による補正を施すが、断層面上での各要素波の震源深さと余震の深さを同一にとる、CASE 3: さらに、各要素波の深さを変化させ、式(2)と(3)をそのまま適用する、CASE 4: モデル2を用いて、CASE 2と同じ方法で合成を行なう。

相川における地動のNS成分をシミュレートした。2. で述べた手法を用いて、6月21日に発生した余震から、地動の重ね合わせを実施している。図2は、本震と余震時の地動変位およびCASE 2による合成波を比較したものである。従来の方法に近いCASE 1よりも、ここで提案したアイデアを含むCASE 2の波

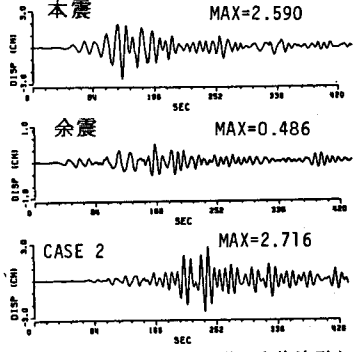


図2 相川での本震時の地動の変位波形と合成波形の比較 (NS成分)

が本震の波形とよく調和していることがわかった。モデル2よりもモデル1の断層がより現実的なので、CASE 4の結果は余りよくない。図3は、水平EW成分に関する変位応答スペクトル($h=2\%$)を求めたものである。他の成分についても同様に調べたところ、やはりCASE 2が本震時の応答をもっともよく再現していた。図より、一般に、CASE 1は本震の応答を過小に、CASE 4は若干過大に評価していることがわかる。これらの結果、CASE 2と3のように、表面波の方位特性関数を考慮する必要性を示唆している。ただし、観測点が震源よりも離れていること、表面波と震源の特性などから、図3において、CASE 2とCASE 3の相違はあまり見られない。

相川と同様の手続により、2つの余震記録を用いて、新潟の本震時の速度応答スペクトル($h=0.1\%$)を求めたのが図4である。図中には、工藤、井上、岡本による結果も併記している。NS成分は、本震時に振りきれていたもので真の応答はわからない。しかし、ここで推定した結果は、卓越周期が若干ずれているものの、他の人による結果と比べても遜色ないことがわかる。一方、本手法によって求めたCASE 1とCASE 3のUD成分の応答は本震時のものとよく対応している。このことは、本研究で提案した手法が10秒前後の応答の評価に際し威力を発揮するものと言える。一般に、CASE 4は他の結果よりも過小な応答を与えており、断層モデルの設定に問題を残している。

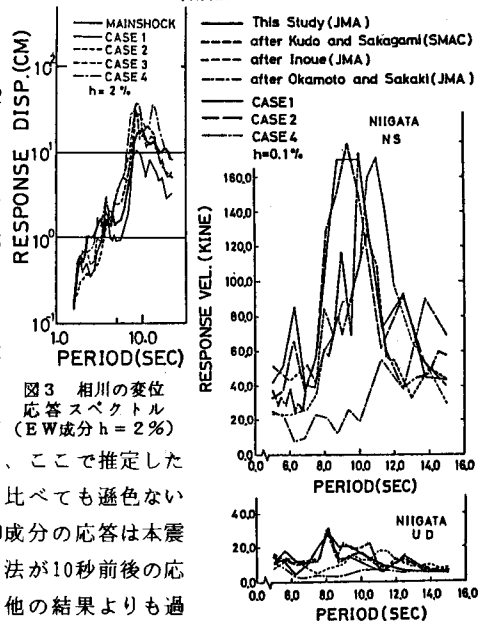


図4 新潟の速度応答スペクトル (NS, UD成分 $h=0.1\%$)

4. あとがき 本研究で提案した合成法による波形と応答スペクトルは本震時の

のものをよく再現しており、本方法の有効性が確認できた。さらに、実記録と合成結果の相関性を高めるためには、より最適な断層モデルと断層パラメーターを採用する必要がある。

謝辞 本研究の遂行に当ってお世話頂いた、新潟地方気象台、相川測候所および島崎邦彦助教授(東大・地震研)にお礼申し上げます。